

大阪工業大学 正会員 赤尾親助.
 " " " 〇 栗田章光

1. まえがき

マルチケーブルをもつPC斜張橋の場合、主げたは構造的にはRCげた^{*1)}と考える。前報^{*1)}におい
 はコンクリートの乾燥収縮およびクリープ解析の基本式をRCげたを例にとり、主として内的不穩定問題の解法
 について述べた。本報ではコンクリートの乾燥収縮解析に的をしぼりエネルギー法(弾性方程式)を用いてマ
 ルチケーブルPC斜張橋のケーブル張力変化量の算定式を示す。塔の軸変形ならびに主げたの軸および曲げ変
 形を考慮し、ケーブルの配置およびその本数は任意に定めるものとした。

なお、RCげた以外の鋼コンクリート合成部材(1段および2段にケーブルが配置されたPCげた、PC合
 成げた、プレフレックスげた等)についての解析と計算例は、文献^{*2)}に示すこととするので参照せよ。

2. 持続荷重によるケーブル張力($X_1 \sim X_n$).

図1に示すような斜張橋モデルを設定した場合、ケーブルおよび格周しに対する幾何学的関係は次の通り。

$$l_i = x_i - x_{i-1} \quad h_i = y_i - y_{i-1} \quad d_i = (x_i^2 + y_i^2)^{1/2} \quad \cos \theta_{xi} = x_i / d_i = \sin \theta_{yi}$$

$$\sin \theta_{xi} = y_i / d_i = \cos \theta_{yi}$$

そこで、ケーブルiに着目し、ケーブル、塔
 および主げた内に貯えらるひずみエネルギー
 (W)を求め $\partial W / \partial x_i = 0$ よりケーブルi
 について次式が得らる。

$$\frac{d_i}{E_c A_{ci}} X_i + \sum_{j=1}^n X_j (\alpha_j + \beta_j + \rho_j + \zeta_j) = \sum_{j=1}^i \eta_j \quad \dots (1)$$

形状係数 $\alpha_j \sim \zeta_j$ および荷重項 η_j は、

$$j \leq i \quad \alpha_j = \sin \theta_{xi} \sin \theta_{xj} \sum_{k=1}^i \frac{h_k}{E_c A_{ck}}$$

$$j \geq i+1 \quad \alpha_j = \sin \theta_{xi} \sin \theta_{xj} \sum_{k=1}^i \frac{h_k}{E_c A_{ck}}$$

$$j \leq i \quad \beta_j = \cos \theta_{xi} \cos \theta_{xj} \sum_{k=1}^i \frac{l_k}{E_g A_{gk}}$$

$$j \geq i+1 \quad \beta_j = \cos \theta_{xi} \cos \theta_{xj} \sum_{k=1}^i \frac{l_k}{E_g A_{gk}}$$

$$j \leq i \quad \rho_j = \sin \theta_{xi} \sin \theta_{xj} \sum_{k=1}^i \frac{A_k}{E_g I_{gk}}$$

$$j \geq i+1 \quad \rho_j = \sin \theta_{xi} \sin \theta_{xj} \sum_{k=1}^i \frac{A_k}{E_g I_{gk}}$$

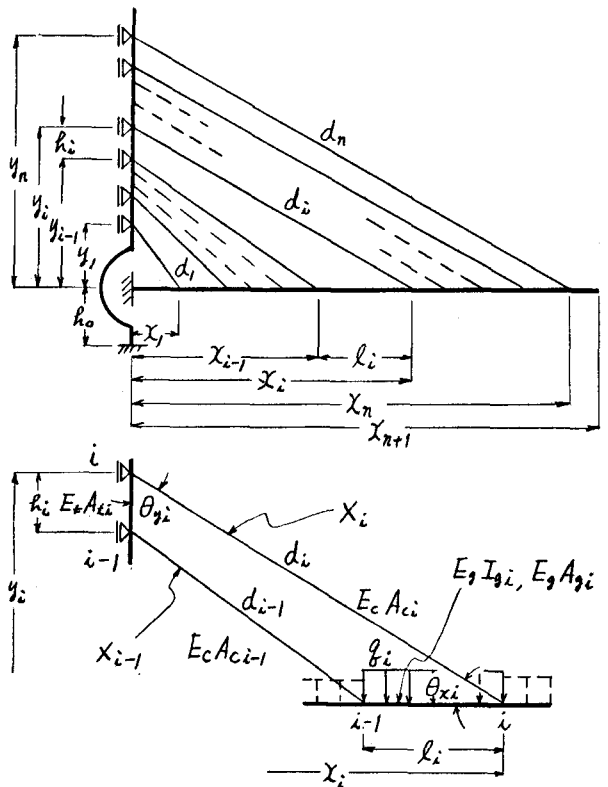


図1. 解析モデルの形状および記号.

*1) 赤尾, 栗田: PC斜張橋の乾燥収縮・クリープ解析(その1), 土木学会第32回年次学会, V-161, S52-10.
 *2) 赤尾, 栗田: 合成構造部材におけるコンクリートのクリープ・収縮の影響の計算法, 関西道路橋研究会, No.A-1, S49.

$$j \leq i+1 \quad \zeta_j = \sin\theta_{xi} \sin\theta_{xj} \sum_{k=1}^{j-1} \frac{B_k}{E_g I_{gk}} (x_j - x_k), \quad j \geq i+2 \quad \zeta_j = \sin\theta_{xi} \sin\theta_{xj} \sum_{k=1}^i \frac{B_k}{E_g I_{gk}} (x_j - x_k)$$

$$j \leq i \quad \eta_j = \frac{\sin\theta_{xi}}{E_g I_{gj}} \left[C_j \zeta_j + \sum_{k=j+1}^{n+1} \zeta_k l_k \left\{ A_j + B_j (x_k - x_j - \frac{l_k}{2}) \right\} \right]$$

$$k \leq i \quad A_k = l_k^3/3 + l_k^2(x_i - x_k)/2, \quad B_k = l_k^2/2 + l_k(x_i - x_k).$$

$$j \leq i \quad A_j = l_j^3/3 + l_j^2(x_i - x_j)/2, \quad B_j = l_j^2/2 + l_j(x_i - x_j), \quad C_j = l_j^4/8 + l_j^3(x_i - x_j)/6.$$

式(1)を全々のケーブル(\$n\$ 本)に適用し、連立方程式を解けば \$g_1 \sim g_{n+1}\$ による \$X_1 \sim X_n\$ が求まる。現実の状態では、式(1)によるケーブル張力の他に、プラスチックおよびプラスチックによるケーブルの張力変化量があることになる。

3. 乾燥収縮によるケーブルの張力変化量 (\$\Delta X_1 \sim \Delta X_n\$).

式(1)と同様、ケーブル \$i\$ について

$$\frac{d_i}{E_c A_{ci}} \Delta X_i + \sum_{j=1}^n \Delta X_j (\alpha_{stj} + \beta_{sgj} + \rho_{sgj} + \zeta_{sgj}) = - \sum_{j=1}^i (\eta_{stj} + \eta_{sgn,j} + \eta_{sgm,j})$$

が成立つ。 \$\eta_{stj}\$, \$\eta_{sgn,j}\$ および \$\eta_{sgm,j}\$ はそれぞれ塔および主けたの乾燥収縮による荷重項で、図2および3を参照して以下のようを得らる。まず、塔に対しては

\$E_{ts}\$: 塔コンクリートの乾燥収縮量。
 \$\rho_{ts}\$: \$E_{ts}\$ に対応するクリープ係数。

$$E_{tc1} = E_{tc} / (1 + \rho_{ts}/2) \quad (\text{換算ヤング係数})$$

$$n_{t1} = (E_s/E_{tc})(1 + \rho_{ts}/2) \quad (\text{換算ヤング係数比})$$

$$\rho_i = (A_{ts}/A_{tc})_i = \rho'_i \quad (\text{鉛筋比})$$

$$A_{c1i,i} = A_{tc,i} (1 + 2n_{t1}\rho_i) \quad (\text{換算断面積})$$

$$P_{st,i} = (E_{tc1} A_{tc} E_{ts})_i$$

$$\eta_{st,i} = \frac{\sin\theta_{xi} l_i}{E_{tc} A_{c1i,i}} P_{st,i}$$

となる。他方、主けたに対しては、\$E_{gs}\$:

けたコンクリートの乾燥収縮量、 \$\rho_{gs}\$: \$E_{gs}\$ に対応するクリープ係数として \$\eta_{sgn,i}\$, \$\eta_{sgm,i}\$ は次のようになる。

$$E_{gc1} = E_{gc} / (1 + \rho_{gs}/2), \quad n_{g1} = (E_s/E_{gc})(1 + \rho_{gs}/2), \quad \rho_i = (A_{gs}/A_{gc})_i, \quad \rho'_i = (A'_{gs}/A_{gc})_i$$

$$A_{c1g,i} = A_{gc,i} \{1 + n_{g1}(\rho_i + \rho'_i)\}, \quad P_{sg,i} = (E_{gc1} A_{gc} E_{gs})_i, \quad M_{sg,i} = P_{sg,i} \cdot l_i$$

$$\eta_{sgn,i} = \frac{\cos\theta_{xi} l_i}{E_g A_{c1g,i}} P_{sg,i} \quad \eta_{sgm,i} = \frac{\sin\theta_{xi} \{l_i^2/2 + l_i(x_i - x_j)\}}{E_g I_{c1g,i}} M_{sg,i}$$

形状係数 \$\alpha_{stj} \sim \zeta_{sgj}\$ は式(1)における \$\alpha_j \sim \zeta_j\$ 中の \$A_{tk}\$, \$A_{gk}\$ および \$I_{gk}\$ をそれぞれ \$A_{c1t,k}\$, \$A_{c1g,k}\$ および \$I_{c1g,k}\$ に置きかえることにより再度適用できる。計算結果とその考察については講演日に申し述べる。

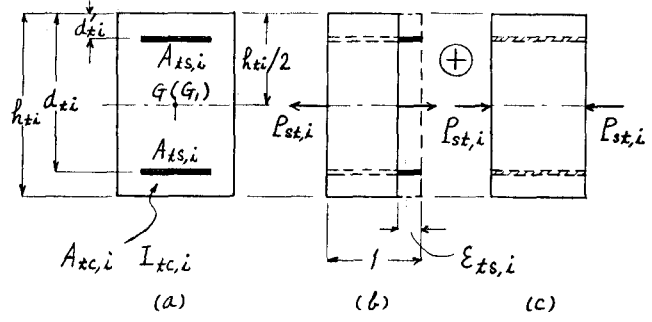


図2. 塔の格向 \$i\$ での \$P_{st}\$.

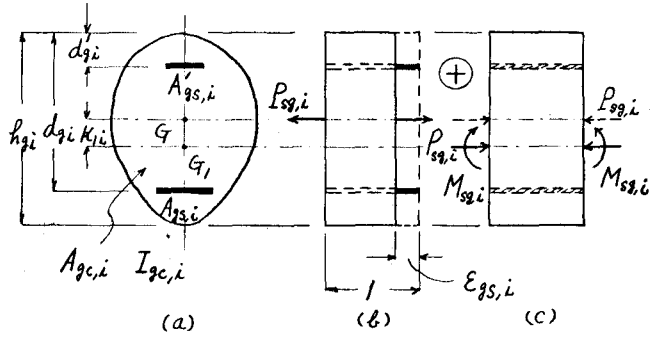


図3. 主けたの格向 \$i\$ での \$P_{sg}\$ および \$M_{sg}\$.